

直連流仕タニ一トガニニ用紙用去給出部ニ関ス

長 田 公 三

渡 辺 秀 夫
相 浦 大 博

Development of Disk Control System

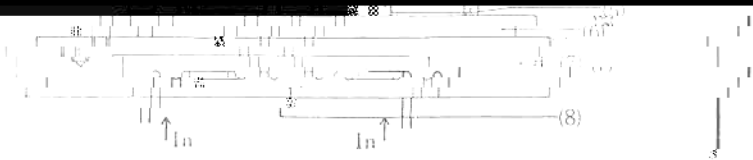
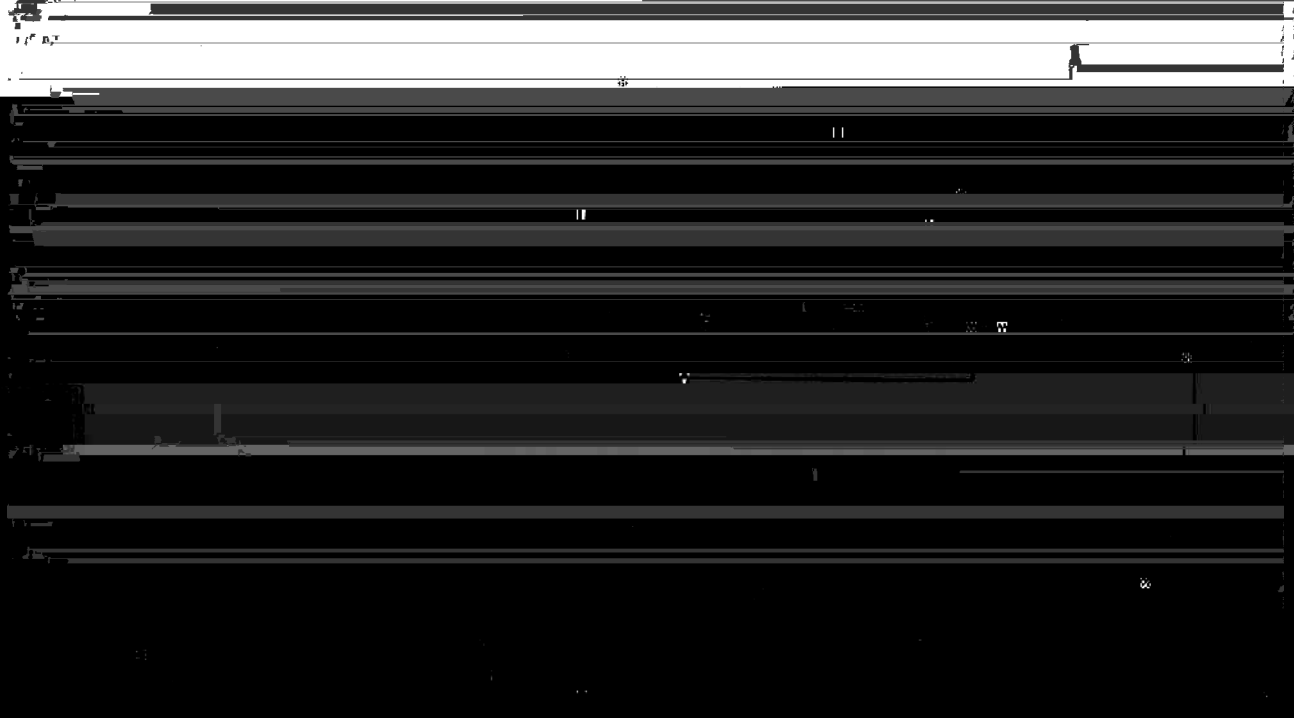
1977

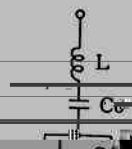
1 + 1 + 1 + 1

High Speed LSI Control



Fig. 2. Block diagram of V. 1.1.1.





$$f_{\text{osc}} = \frac{1}{2\pi \sqrt{(K + \epsilon_m)cd + c_0}} \quad (c)$$

Fig. 4 Equivalent circuit for determining oscillation frequency

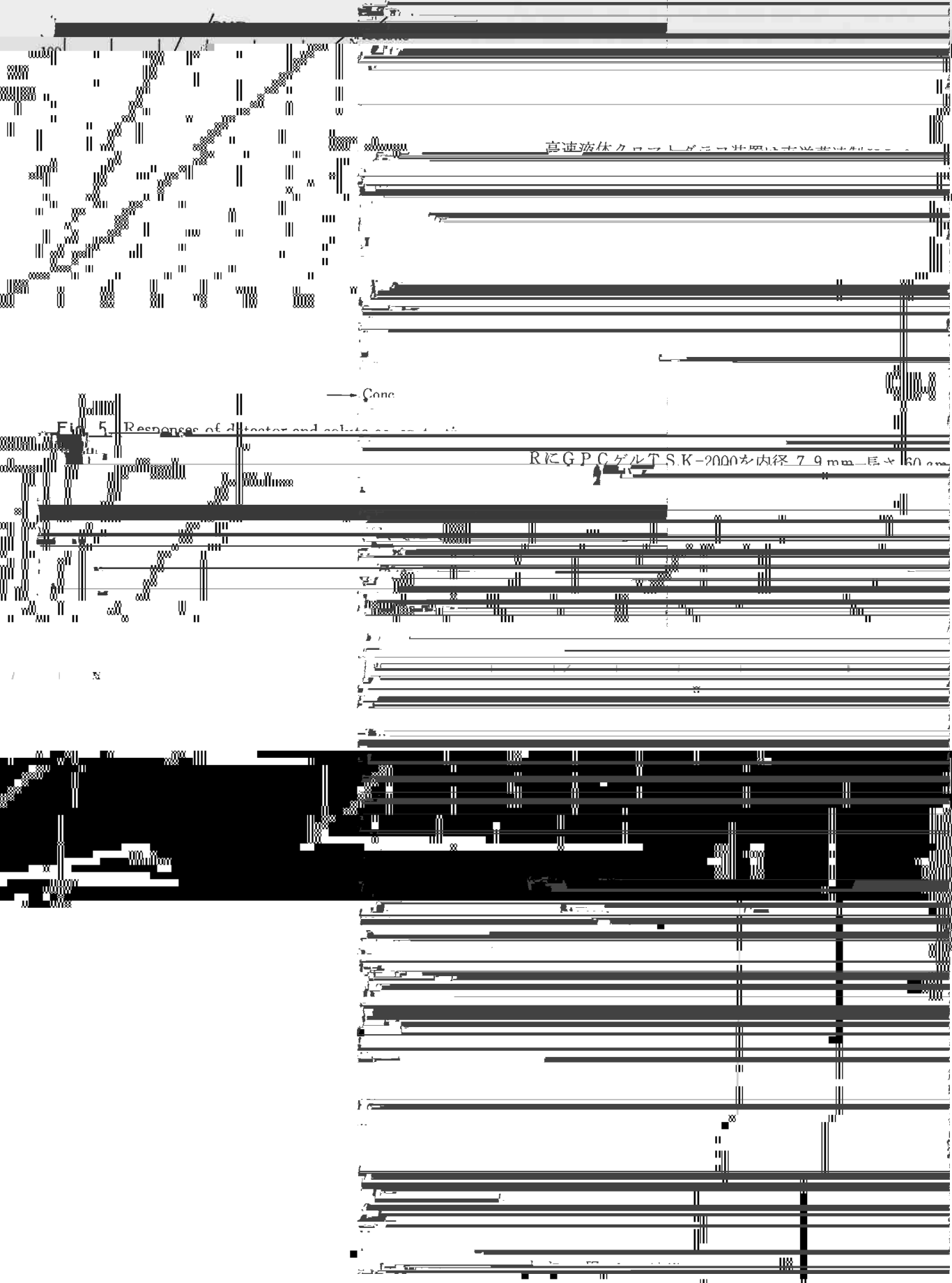
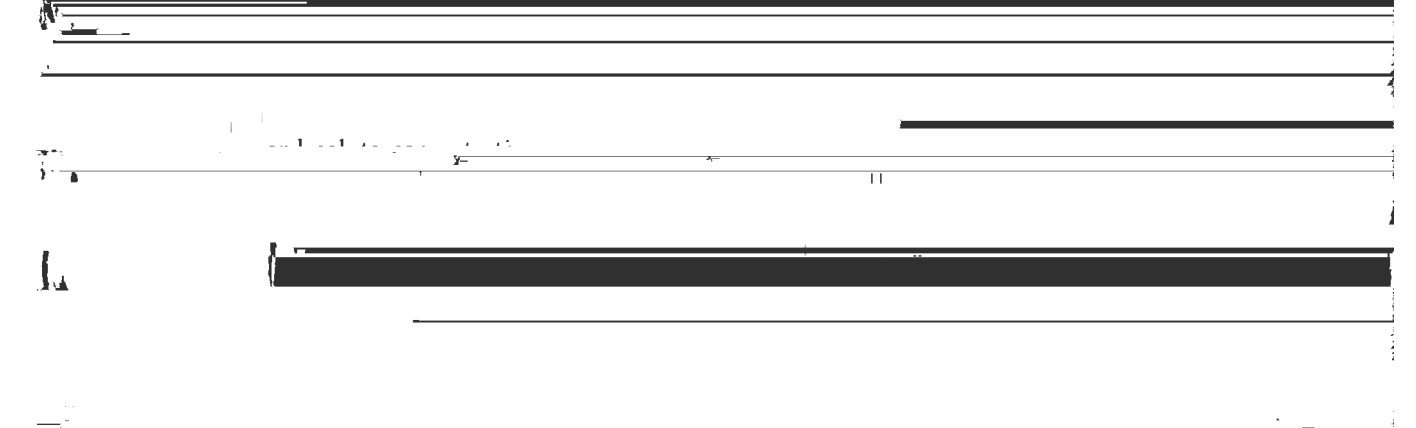
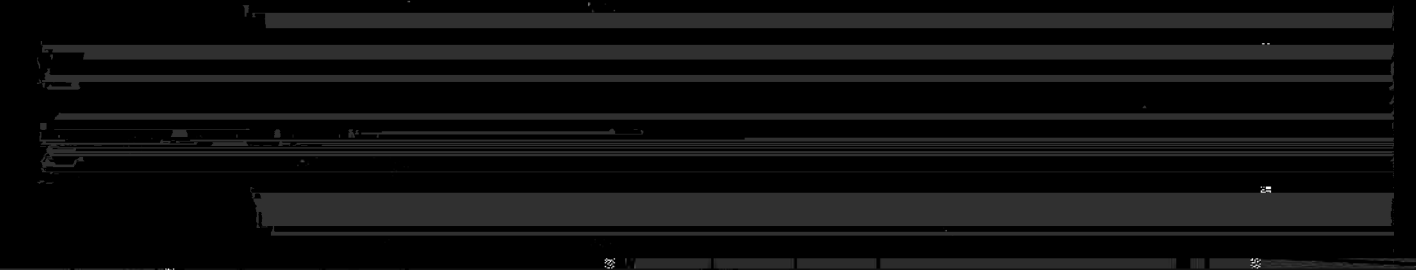
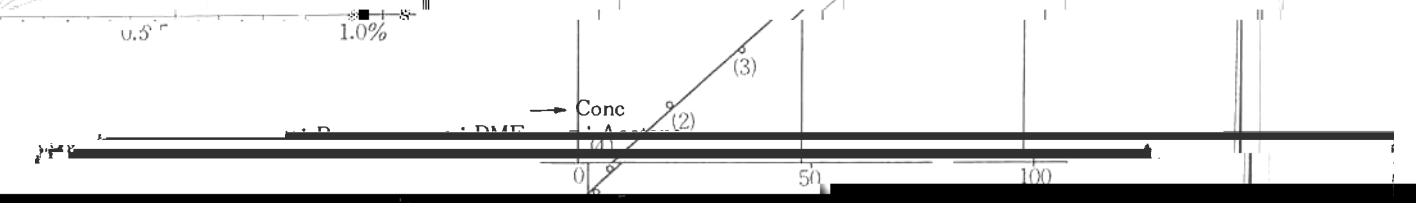
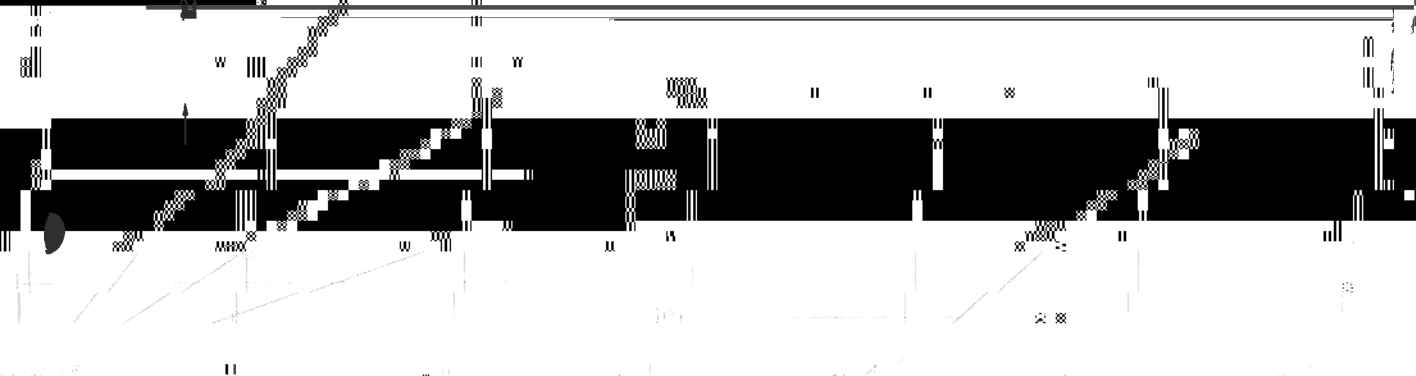
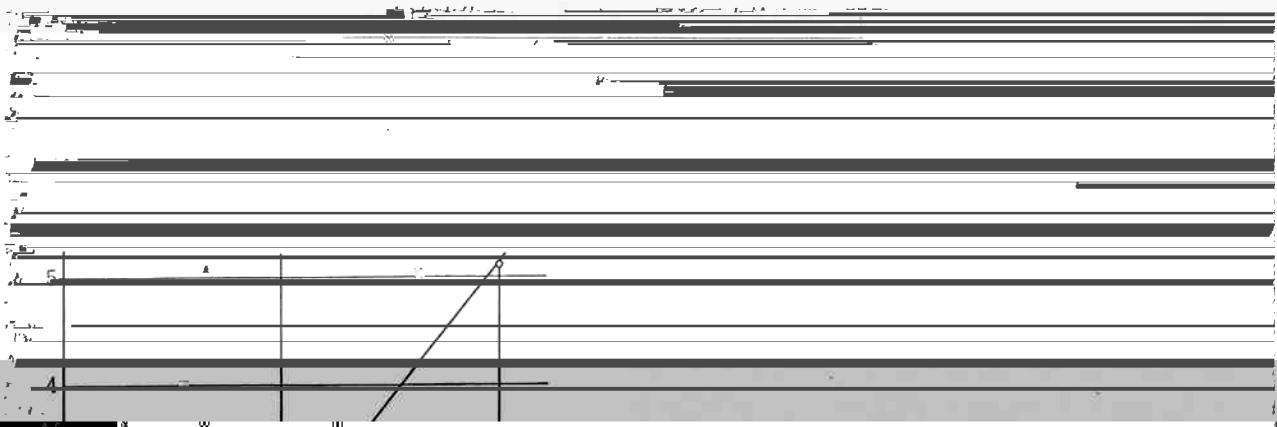


Fig. 5. Response of detector and solution concentration.

RにGPCゲルT.S.K-2000を内径7.9mm・長さ50cm



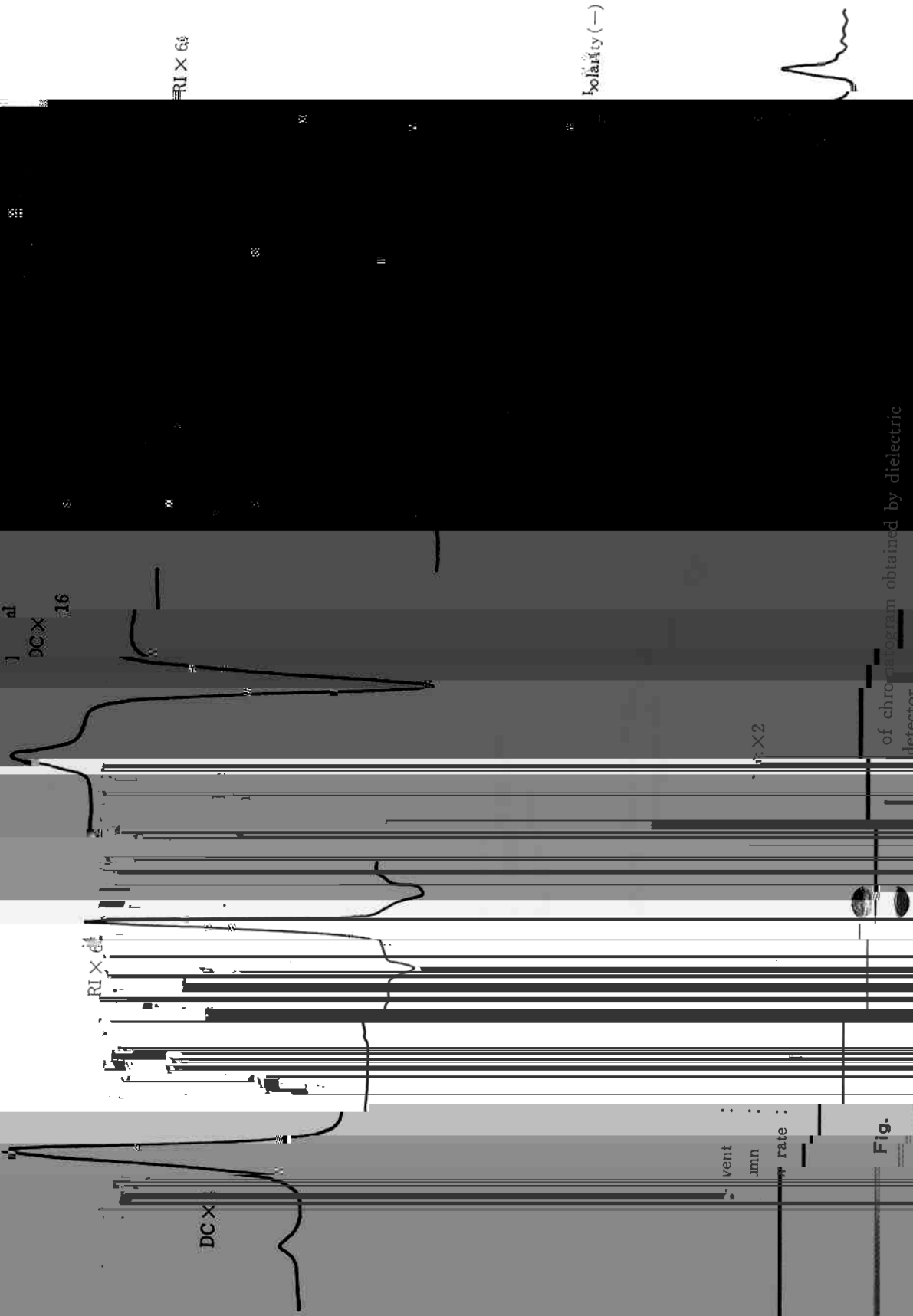
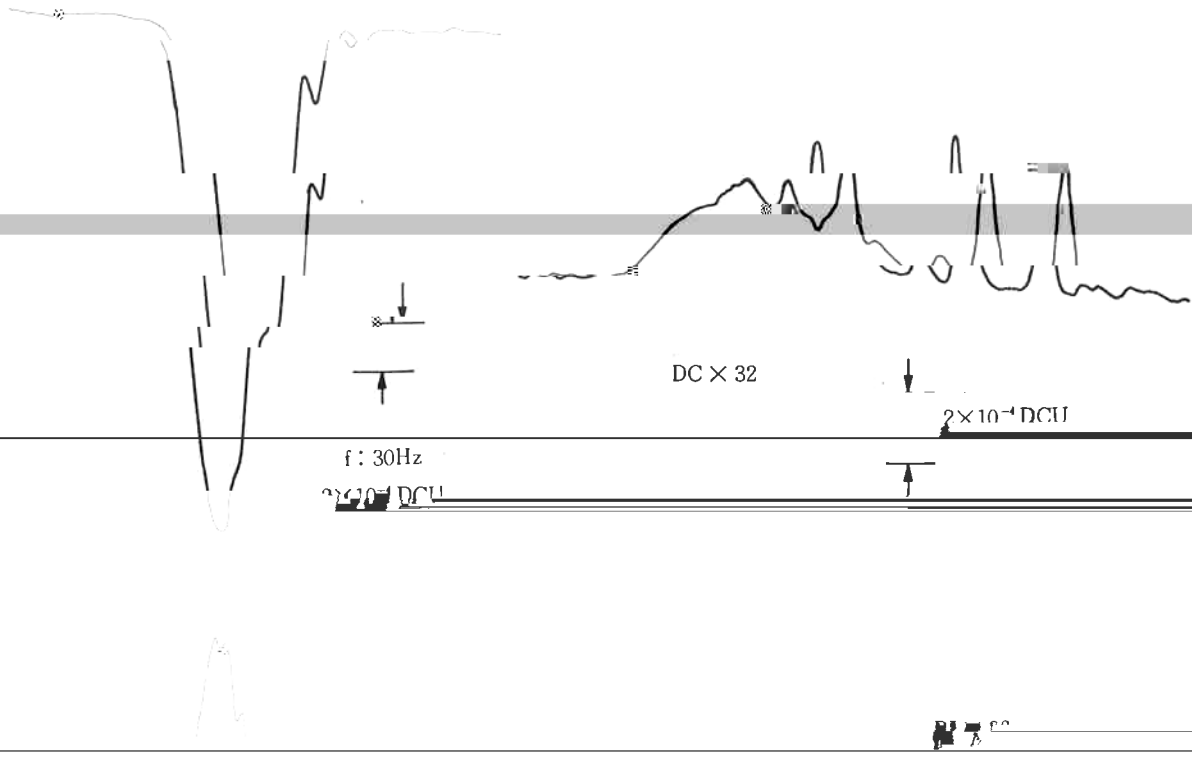


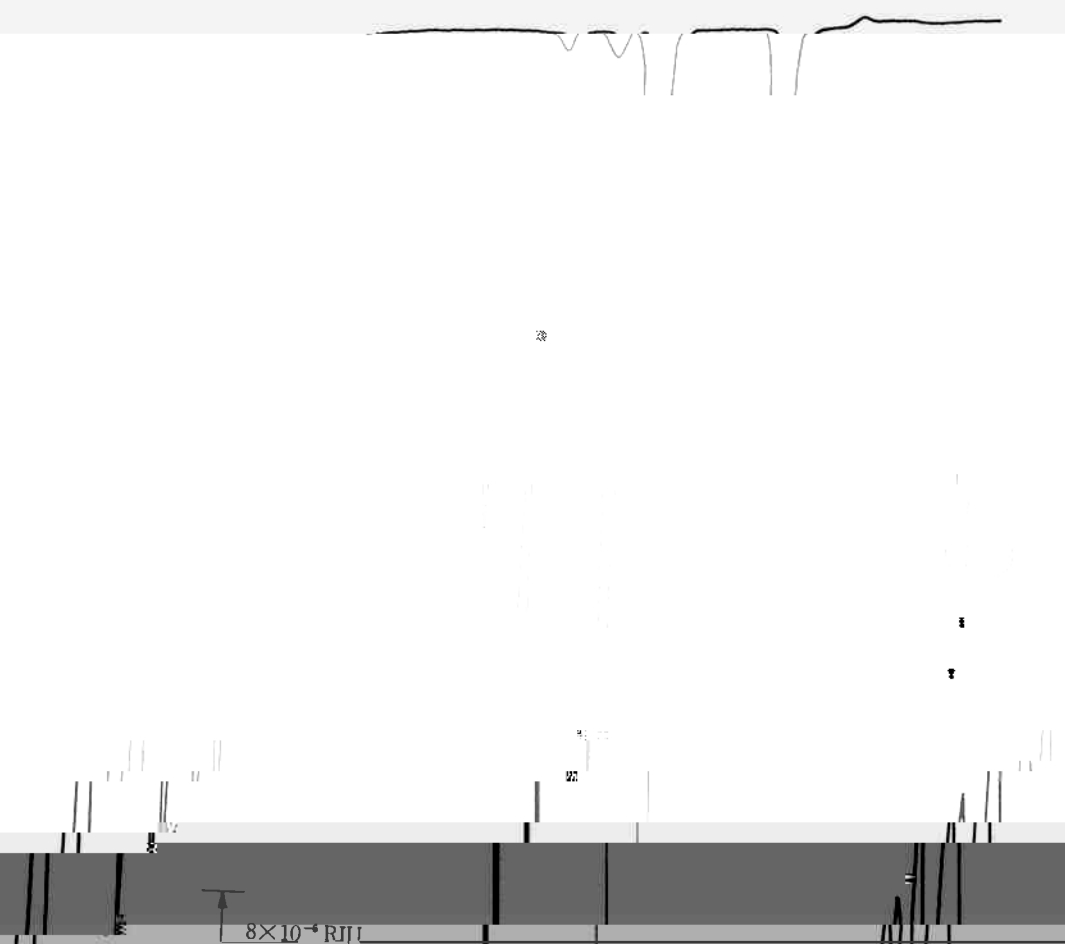
Fig. of chromatogram obtained by dielectric detector

benzene 0.5%
0.01

マトグラムとの差から求め $m=1.25 \times 10^{-3}$ として $4f$ を RI モニタとの比較にとどめた。



12-20-74



Column G2000 3/8 2ft x 2
low rate 1.0ml/min
Injection 0.1ml

Fig. 15 Chromatogram of polymer...

